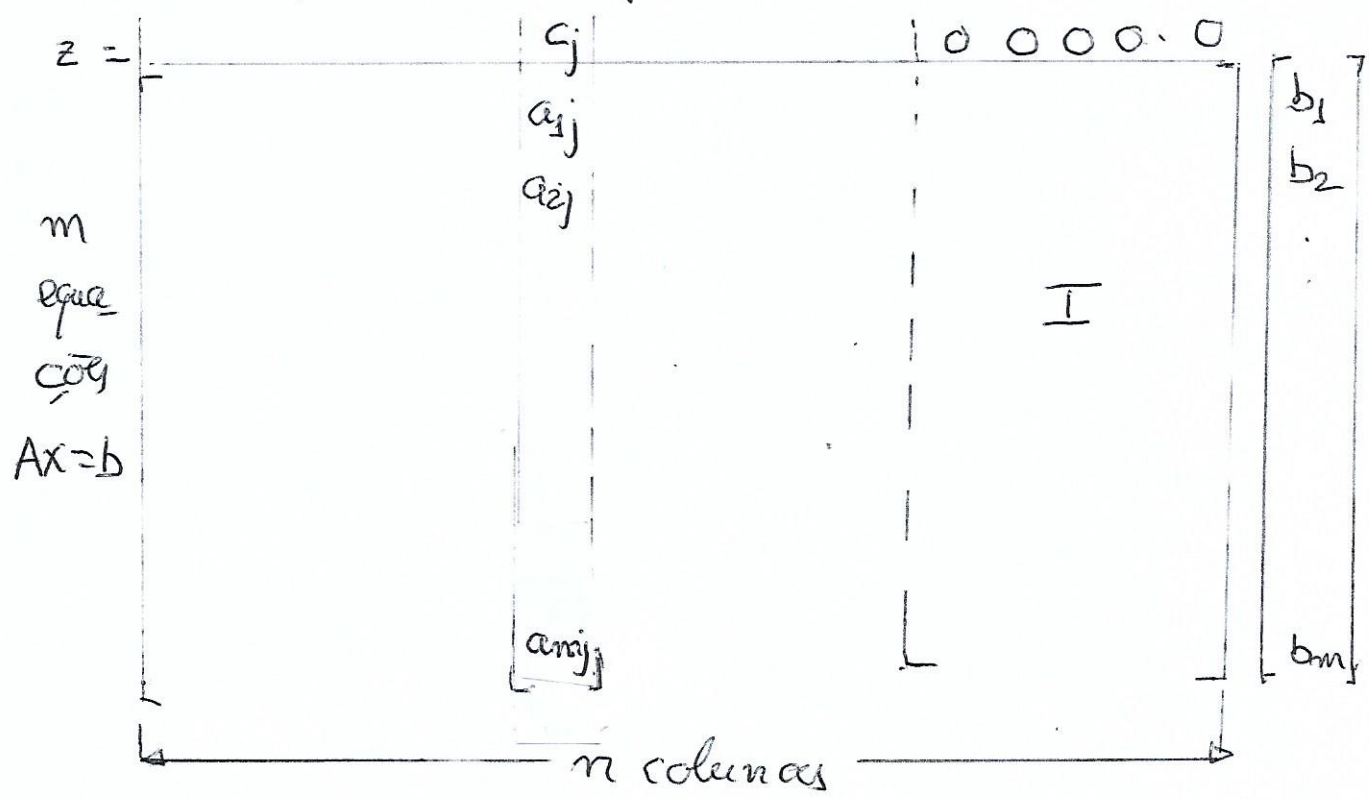


# 12 O Algoritmo Simplex Revisado

Admita-se, para a exposição que se fez a seguir, que no sistema de equações  $Ax = b$  de forma padrão: 1- as  $m$  equações sejam independentes; 2-  $b \geq 0$ ; 3- haja na matriz  $A$  uma submatriz identidade com  $m$  colunas; 4- que as variáveis associadas a essas  $m$  colunas tenham coeficiente nulo na equação da função objetivo  $z$ .  
 A Tabela 1 abaixo mostra, de forma esquemática, os coeficientes dessa forma padrão.

Tabela 1 - Coeficientes da Forma Padrão



A Tabela 2 ilustra uma tabela genérica do simplex, seja Tabela  $p$ , para uma solução básica viável não ótima desse problema. Observe-se que, na posição onde havia a matriz identidade da forma padrão, aparece a inversa  $B^{-1}$  correspondente às variáveis básicas desta forma canônica e acima dessa inversa  $B^{-1}$  aparece as componentes do vetor dos multiplicadores simplex com sinal trocado. Nesta Tabela 2 estão indicadas a variável não básica atual  $x_n^N$  que vai se tornar básica (de acordo com o critério  $\min \{\bar{c}_j^N < 0\} = \bar{c}_n^N$ ) e a variável básica atual  $x_n^B$  que cederá o lugar a  $x_n^N$  (de acordo com o critério  $\min_{\bar{a}_{ik}^N > 0} \{\bar{b}_i / \bar{a}_{ik}^N = \bar{b}_n / \bar{a}_{nk}^N\}$ ). A próxima tabela do simplex, a tabela  $(p+1)$ , é obtida aplicando-se o método de Gauss Jordan de eliminação, utilizando como pivô o coeficiente  $\bar{a}_{nk}^N$ . Para grandes instâncias de um problema de programação linear, a aplicação do método de Gauss-Jordan para todas as colunas da Tabela 2 requer uma quantidade significativa de esforço computacional. Assim surge a proposta de somente aplicar Gauss-Jordan para as últimas

(m+1) colunas da Tabela, atualizando apenas os valores de  $B^{-1}$ ,  $\pi$ ,  $\bar{b}$  e  $z_0$ . A Tabela 3 é a tabela (p+1) do simplex contendo apenas os coeficientes das últimas (m+1) colunas da tabela (p+1) do simplex convencional.

Tabela 2

Tabela p do simplex para uma solução não ótima

-z		$\bar{c}_j$		$\bar{c}_R^N$		$-\pi_1$ $-\pi_2$ ... $-\pi_m$	$-z_0$
$x_1^B$		$\bar{a}_{1j}$		$\bar{a}_{1R}^N$			$\bar{b}_1$
$x_2^B$		$\bar{a}_{2j}$		$\bar{a}_{2R}^N$			$\bar{b}_2$
						$B^{-1}$	
$x_r^B$		$\bar{a}_{rj}$		$\bar{a}_{rR}^N$			$\bar{b}_r$
$x_m^B$		$\bar{a}_{mj}$		$\bar{a}_{mR}^N$			$\bar{b}_m$

$x_R^N$

Tabela 3, Tabela (p+1) do simplex com as últimas (m+1) colunas

-z	$-\pi_1$	$-\pi_2$		$-\pi_m$	$-z_0$	$\bar{c}_R^N$
$x_1^B$					$\bar{b}_1$	$\bar{a}_{1R}^N$
$x_2^B$					$\bar{b}_2$	$\bar{a}_{2R}^N$
			$B^{-1}$			
$x_r^B$					$\bar{b}_r$	$\bar{a}_{rR}^N$
$x_m^B$					$\bar{b}_m$	$\bar{a}_{mR}^N$

Na Tabela 3 estão os valores das variáveis básicas da solução básica viável atual e o correspondente valor da função objetivo. No entanto, como na Tabela 3 não aparecem os custos reduzidos  $\bar{c}_j^N$  de todas as variáveis não básicas  $x_j^N$ , não é possível examinar ainda a otimalidade da solução básica viável atual.

Os custos reduzidos  $\bar{c}_j^N$  podem ser obtidos a partir da expressão:

$$\bar{c}_j^N = c_j^N - \pi A_j^N \quad (1)$$

Existindo  $\bar{c}_j^N < 0$  para a solução básica viável atual, determina-se:

$$\min \{ \bar{c}_j^N < 0 \} = \bar{c}_R^N \quad (2)$$

A variável  $x_R^N$  vai se tornar básica; para determinar a variável básica que cederá o lugar a  $x_R^N$ , de acordo com o critério do simplex

$$\min_{\bar{a}_{ik}^N > 0} \left\{ \bar{b}_i / \bar{a}_{ik}^N \right\} = \bar{b}_R / \bar{a}_{Rk}^N \quad (3)$$

é necessário previamente calcular

$$\bar{A}_R^N = B^{-1} A_R^N \quad (4)$$

A coluna de  $x_R^N$ , com  $\bar{c}_R^N$  e  $\bar{A}_R^N$ , é colocada, então, ao lado da Tabela 3, de modo que possa ser aplicado o método de Gauss-Jordan para obtenção da tabela (p+2) do simplex revisado.

Assim, no simplex revisado, reduz-se, de um lado, o custo computacional das operações de Gauss-Jordan, aplicando-as apenas para (m+1) colunas da tabela. Por outro lado, são incluídas novas operações para cálculo dos custos reduzidos  $\bar{c}_j^N$ , por meio da expressão (1), e para o cálculo da coluna  $\bar{A}_R^N$ , por meio da equação (4).

A comparação entre os 2 algoritmos - o simplex convencional e o simplex revisado, em termos do custo computacional depende fortemente de 2 parâmetros: a razão n/m entre o número de variáveis e o número de equações e de densidade de elementos não nulos na matriz A da forma padrão. No caso em que as colunas  $A_j$  da matriz A tenham poucos elementos não nulos, tanto o cálculo de  $\bar{c}_j^N$ , pela equação 1, quanto de  $\bar{A}_R^N$ , pela equação 4 têm um custo computacional mais baixo. Quanto maior é a razão n/m, maior é a economia de custo computacional que se consegue no simplex revisado.

do com a redução das operações de Gauss-Jordan.

A Figura 1 mostra, de forma esquemática as regiões em que uma variante tem vantagem sobre a outra em termos de custo computacional.

Para instâncias de grande porte de problemas de programação linear, a razão  $n/m$  tende a ser grande e a densidade de elementos não nulos na matriz  $A$  tende a ser pequena - uma dada variável do problema aparece em poucas equações do sistema. Por tais razões, nos softwares comerciais de programação linear é utilizado o algoritmo simplex revisado.

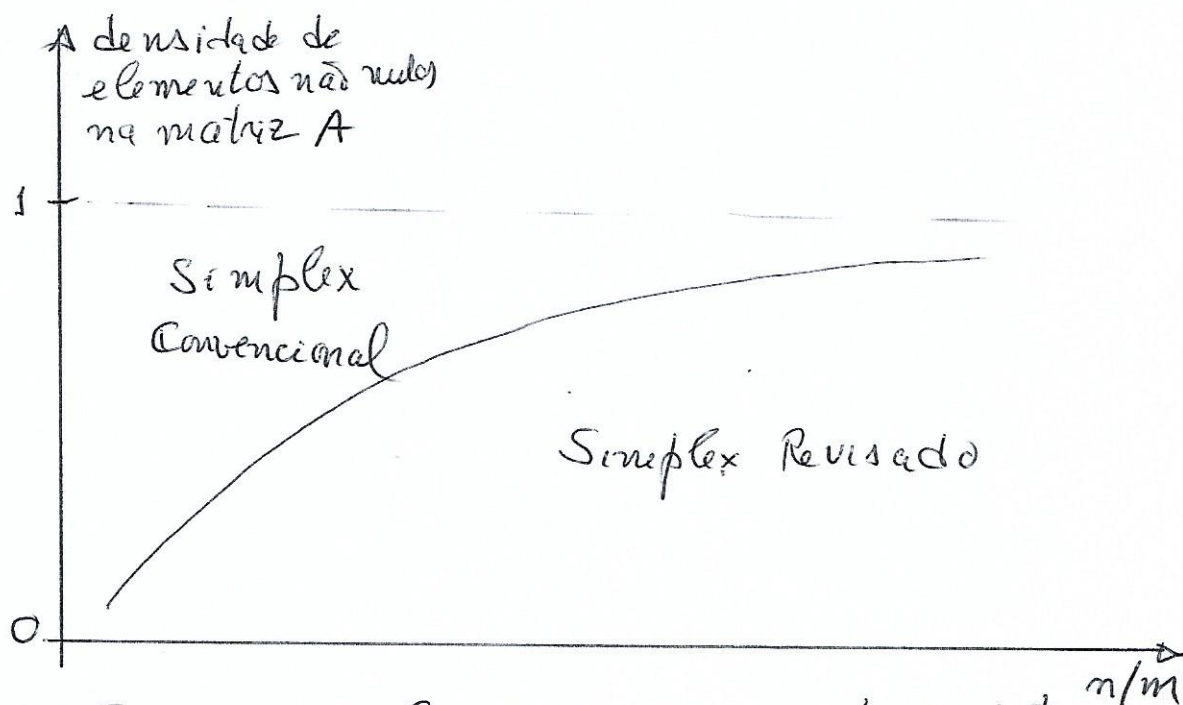


Figura 1 - Regiões em que cada variante tem vantagem em relação à outra.